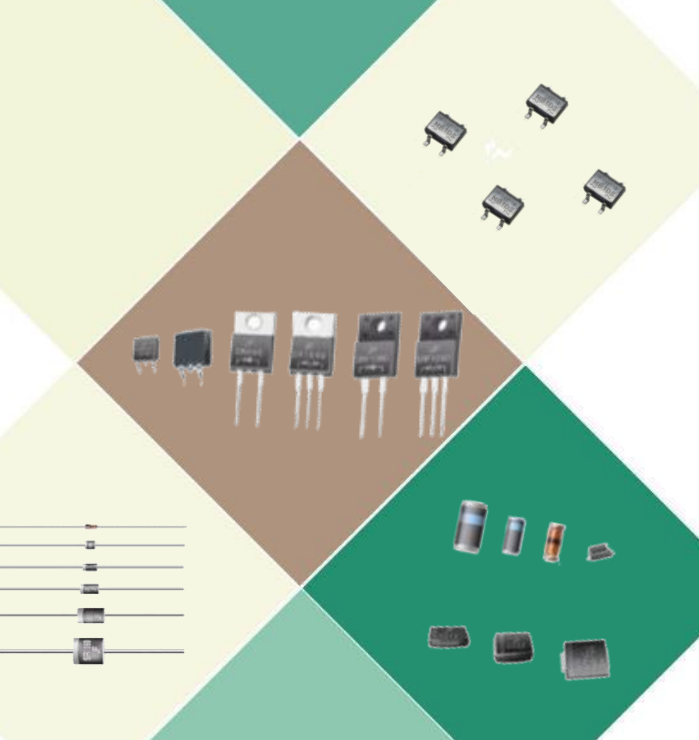


功率二极管在电源里的损耗分析和选型原则









秘洪亮

- ◎济南晶恒总工程师
- ◎山东大学客産教授
- ◎从事往导体制造业26年







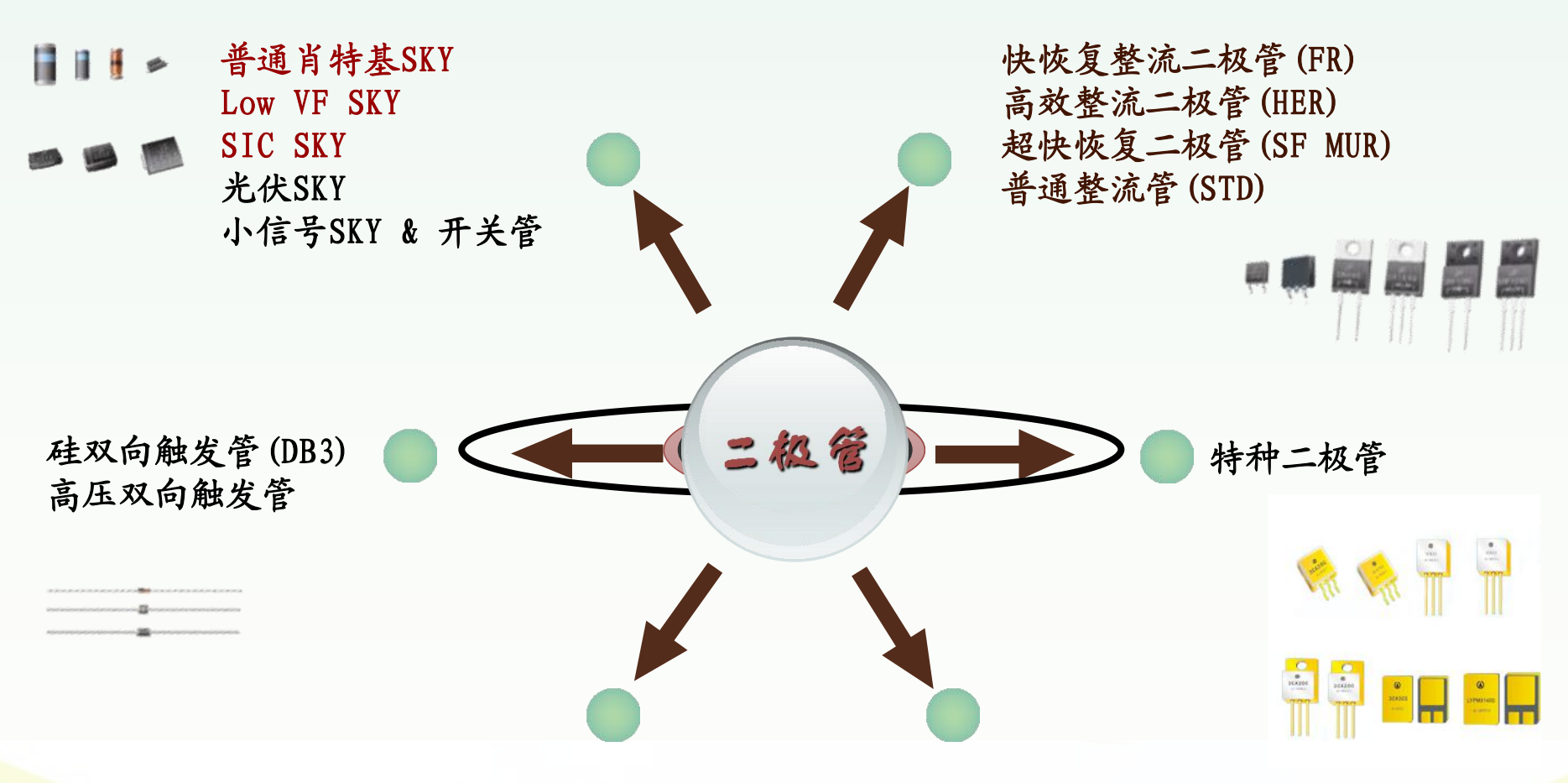
济南晶恒电子

- 往导体分立元器件研发制造商
- 国家定点军工科研单位
- 58年3 导体科研和生产历史



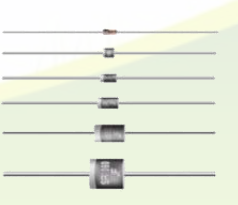


济南晶恒二极管系列产品





整流桥 肖特基整流桥 稳压管 (ZENER) 瞬变电压抑制二极管 (TVS) ESD





目录

01 二极管损耗组成

02 二极管损耗分析

03 应用实例1,Flyback电源电路二极管损耗分析

04 应用实例2,BOOST电路二极管损耗分析

05 晶恒二极管在电源效率提升中的应用

二极管损耗组成

二极管损耗由以下三部分组成:

1 通态损耗Pc

2 截止损耗Pb

3 开关损耗Ps

总损耗PD=Pc+Pb+Ps

二极管损耗分析

1

通态损耗Pc

定义:二极管导通状态下产生的损耗。

公式: (1) 若二极管正向电流为直流IF:

 $Pc=I_F \times V_F$

I_F:二极管电流

V_F: 二极管正向压降(@IF)



设脉动周期为T, 从图1看出, VF是iF的函数, 记为: VF=f(iF)在一个周期内, 二极管的通态损耗为

$$\mathsf{Pc} = \frac{1}{T} \int_0^T V_F(t) I_F(t) dt$$

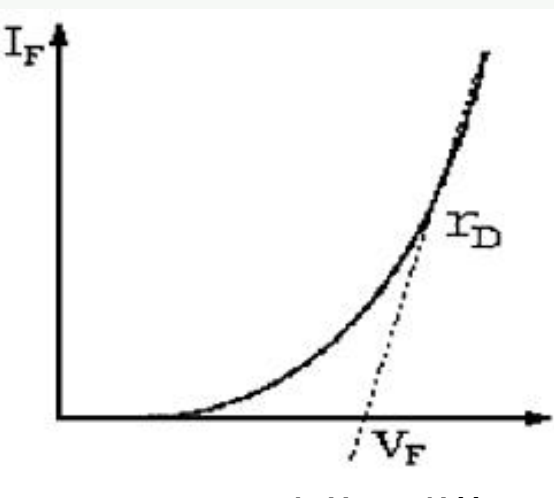
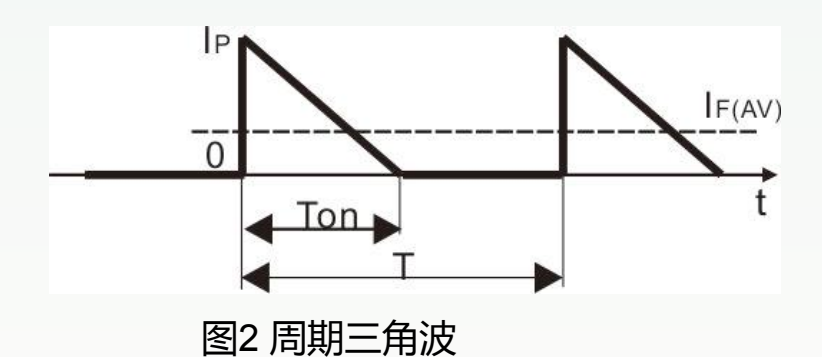


图1 二极管V_F-I_F特性

1 通态损耗Pc

Pc计算: 以二极管电流i_F(t)为周期三角波为例,计算Pc。



其中:Ton:二极管导通时间

T:电流周期

I_P:峰值电流

 $I_{F(AV)}$:平均电流

规定:占空比D=Ton/T

那么, $i_F(t)=I_P(1-t/ton)$ t=0-ton

 $i_F(t)=0$ t=ton-T



下面我们来看看V_F-I_F的关系

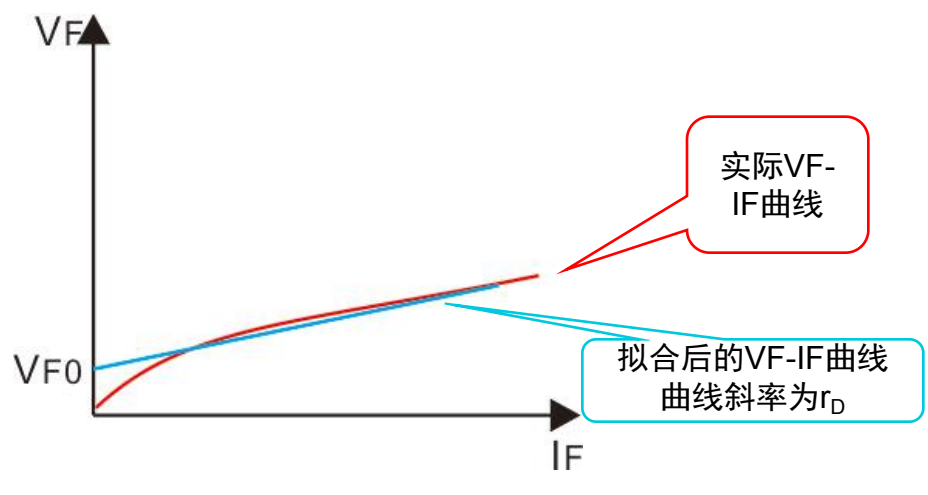


图3 实际二极管V_F-I_F特性

如上图的 V_{F} - I_{F} 特性,可以把该曲线近似为直线。曲线的斜率为 I_{D} ,即二极管的动态内阻, V_{F0} 为二极管起始电压。

那么: $V_F(t)=V_{F0}+r_D\times i_F(t)$ 二极管在一个周期内的损耗

$$Pc = \frac{1}{T} \int_0^T V_F(t) i_F(t) dt = \frac{1}{T} \int_0^T (V_{F0} + r_D i_F) i_F dt$$
$$= V_{F0} \times \frac{1}{T} \int_0^T i_F dt + r_D \times \frac{1}{T} \int_0^T (i_F \times i_F) dt$$

可以看出:

(1) $\frac{1}{T} \int_0^T i_F dt$ 为二极管电流在一个周期内的平均值,记为 $I_{F(AV)}$,

得到:I_{F(AV)}=1/2×I_P×D。 I_{F(AV)}为电源输出电流Io。

(2) $\frac{L}{I} \int_0^T (i_F \times i_F) dt$ 为二极管电流<mark>有效值的平方</mark>,记为 $I_F^2_{(RMS)}$,

得到:
$$I_{F(RMS)} = I_{P} \times \sqrt{D/3}$$

得出结论,周期三角波的二极管通态损耗公式为:

$$\begin{split} &\text{Pc=V}_{\text{F0}} \times \text{I}_{\text{F(AV)}} + \text{R}_{\text{D}} \times \text{I}_{\text{F}}^{2}_{\text{(RMS)}} \\ &\text{I}_{\text{F}}(\text{AV}) = 1/2 \times \text{I}_{\text{P}} \times \text{D} \\ &\text{I}_{\text{F(RMS)}} = \text{I}_{\text{P}} \times \sqrt{\text{D}/3} \ = 2\text{Io/D} \times \ \sqrt{\text{D}/3} \end{split}$$



1 通态损耗Pc

V_{F0}、r_D的计算举例:

 r_D :在电流较大时($\geq 1A$), V_{F} - I_{F} 曲线可近似看做为直线。 r_D 一般只有几毫欧到几十毫欧。可以通过 V_{F} - I_{F} 曲线近似计算 r_D 。

如:对于晶恒的JF SR5100SL, 5A100V SUPER Low VF SKY DIODE。 各电流下的VF为, 6A:0.57V, 5A:0.54V, 4A:0.51V, 3A:0.48V, 2A:0.44V, 1A:0.40V。

 $r_D = \Delta V_F / \Delta I_F \approx (0.54-0.44)/(5-2) = 0.033(\Omega) = 33m\Omega$

V_{F0}: 以Io=3A,V_F=0.48V,计算

 $V_{F0} = V_F - r_D \times Io = 0.48 - 0.033 \times 3 \approx 0.38 V$

由此可见,当输出电流较大时,rp的影响还是很大的。



2 截止损耗Pb

定义:二极管反向截止时,由反向漏电流IR和反向截止电压VR引起的损耗。

公式: P_b=V_R×I_R

公式说明:

1)PN结二极管(FRD、STD类)

常温(25°C)时: IR基本小于1uA, Pb很小;

高温 (如:125℃)时,IR也在50uA以下,Pb最多几十mW。

2) 肖特基二极管

常温(25°C)时:IR在几十uA,由于VR小(≤300V),Pb可忽略。

高温时(100℃)时:常用Si基肖特基二极管IR在几mA-几十mA级,

如:5A40VSKY,IR=5mA,Pb=200mW。Pb的影响就大了。

对于Pb,关注高温下肖特基类二极管的情况。

3 开关损耗Ps

定义:二极管执行开和关动作时产生的损耗。由两部分组成,

- (1) 是二极管从截止状态到导通状态时的开通损耗Pon;
- (2)是二极管从导通状态到反向截止状态时的关断损耗Poff。 而Poff又由二极管关断时ta反向恢复期间损耗Poffa和tb反向恢复期间损耗 Poffb两部分组成。

公式: Ps=Pon+Poff
=Pon+Poffa+Poffb≈Pon+Poffb

备注:

Pon= $1/2 \times I_{F(AV)} \times (V_{FR} - V_F) \times tfr/Ts$

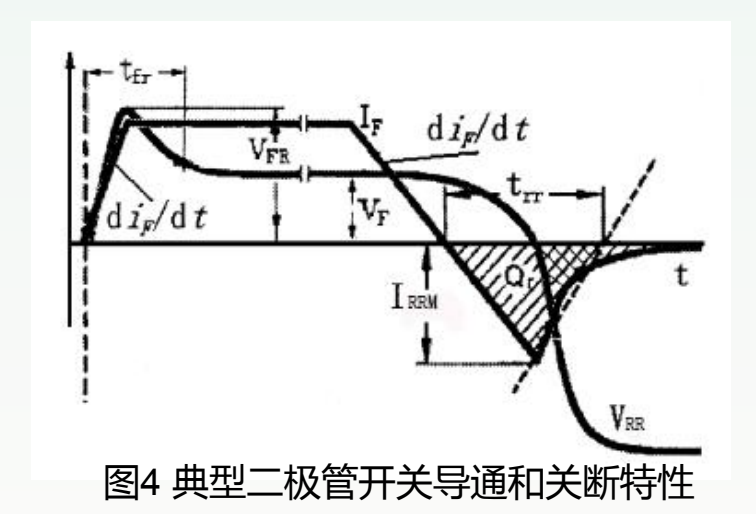
Poffa=1/2×V_{F(AV)}×I_{RRM}×ta/Ts(通过后面分析,该项可省略)

Poffb= $1/4 \times V_{RR} \times I_{RRM} \times tb/Ts$

各参数定义后续说明。

3 开关损耗Ps

公式说明:



我们由图4的二极管开关特性来推导开通和关断损耗。

备注:

tfr:正向电压恢复时间 trr:反向恢复时间

 V_{FR} :正向恢复最大电压 I_{RRM} :最大反向恢复电流

 V_F : 平均电流下的正向压降 V_{RR} : 反向恢复电压

di_F/dt:在开通和关断时的电流变化率 Qrr:存储电荷

(由外电路决定,假设相等)





把图2,开通过程的电流和电压波形进行理想化处理,得到图3的波形。

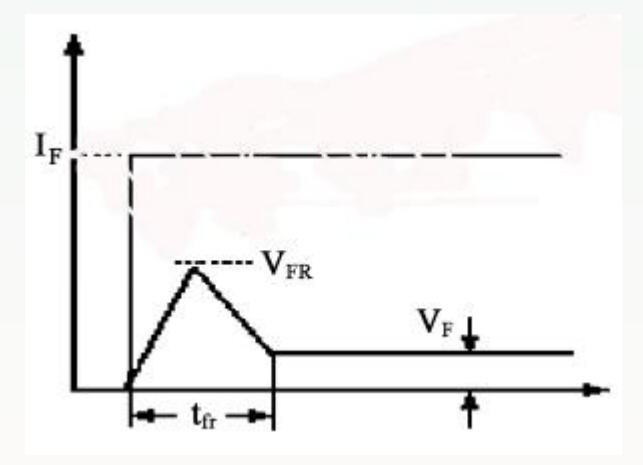


图3二极管开通时电压和电流理想波形

Pon= $1/2 \times I_F \times (V_{FR} - V_F) \times tfr/Ts$

其中,Ts为主开关管开关周期。





把图2的关断时刻电流和电压波形理想化处理,得到图4的波形。

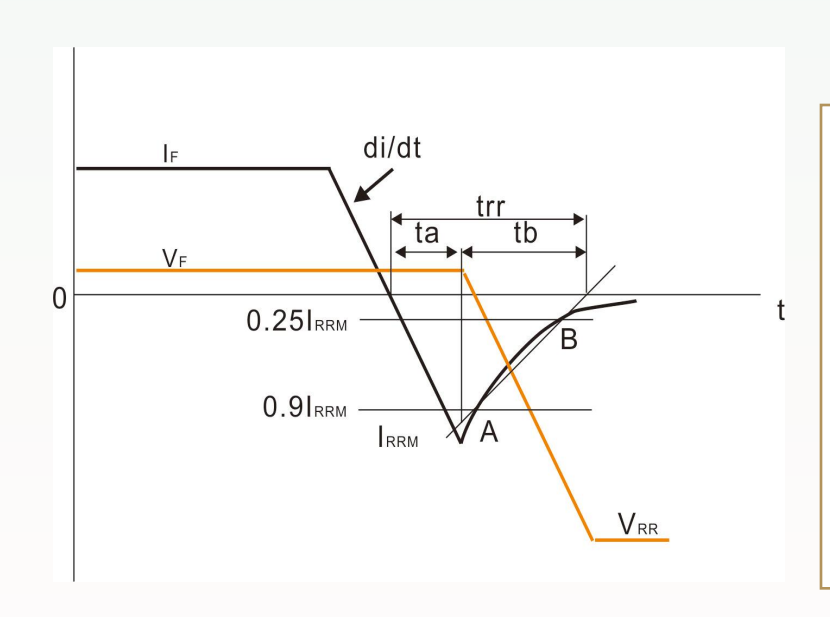


图4 二极管关断特性

ta:电流过零点到最大反向电流I_{RRM}的时间。<mark>扫除存储电荷的时间。</mark>

tb:从I_{RRM}到经过0.9I_{RRM}A点)与0.25I_{RRM}(B点)两点的直线与电流为零直线的交点直接所对应的时间。

V_{RR}:反向恢复电压。

tb/ta:软度因子。反映二极管反向恢复特性的软硬

程度。



假设:

在ta阶段反向电流I_R线性增加,最大值为I_{RRM};

在tb期间I_R线性减小到零,二极管上电压在tb时刻才开始线性上升,最大值为V_{RR}。

ta期间的损耗(一个周期)为:

Poffa=
$$\frac{V_F}{T}\int_0^{tb} i_R dt$$
 =1/2× V_F × I_{RRM} ×ta/Ts

tb期间的损耗计算(一个周期)为:

Poffb=
$$\frac{1}{T}\int_{0}^{b} i_{R}(t)V_{R}(t)dt = 1/4 \times V_{RR} \times I_{RRM} \times tb/Ts$$

注:对于ta期间损耗Poffa,由于ta/Ts在0.005左右,VF/2在1V以下,I_{RRM}在几A到十几A,损耗一般在10mW以内,所以,关断损耗只计算tb期间的Poffb。





开关损耗PS等于开通损耗Pon 和关断损耗Poff 的和。

Ps=Pon+Poff

 $Ps=1/2\times I_F\times (V_{FR}V_F)\times tfr/Ts+1/4\times V_{RR}\times I_{RRM}\times tb/Ts$

列举一个例子,同样一台开关电源,选取不同种类的二极管,开关损耗哪个更小呢?让我们来计算一下吧!





开关损耗Ps的计算

某开关电源规格为24V 3A。电源开关频率为50KHz (Ts=20000ns), 二极管反向电压V_{RR}为120V。

方案A:输出整流管使用晶恒快恢复二极管JF MUR1020(10A200V)

MUR1060参数:tfr=50ns , tb=50ns , V_F=0.9V , I_{RRM}=5A

经计算: tfr/Ts=0.0025,

tb/Ts=0.0025,

VFR为5倍的VF,

VFR-VF=3.6V

得出: Pon=13.5mW

Poff= 375mW

总开关损耗Ps=388.5mW





开关损耗Ps的计算

方案B 输出整流管为晶恒肖特基SKY二极管, JF SR10200 (10A200V)

JF SR10200参数: tfr=20ns , tb=20ns , I_{RRM}=1A , V_F=0.8V

经计算: tfr/Ts=0.0025,

tb/Ts=0.001,

VFR为5倍的VF,

VFR-VF=3.2V

得出: Pon=4.8mW

Poff=30mW

总开关损耗Ps=39.6mW

结论:对于开关损耗Ps,肖特基二极管比快恢复二极管小的多。

应用实例1

Flyback电源二极管损耗分析 (DCM模式)



DCM模式下二极管损耗分析

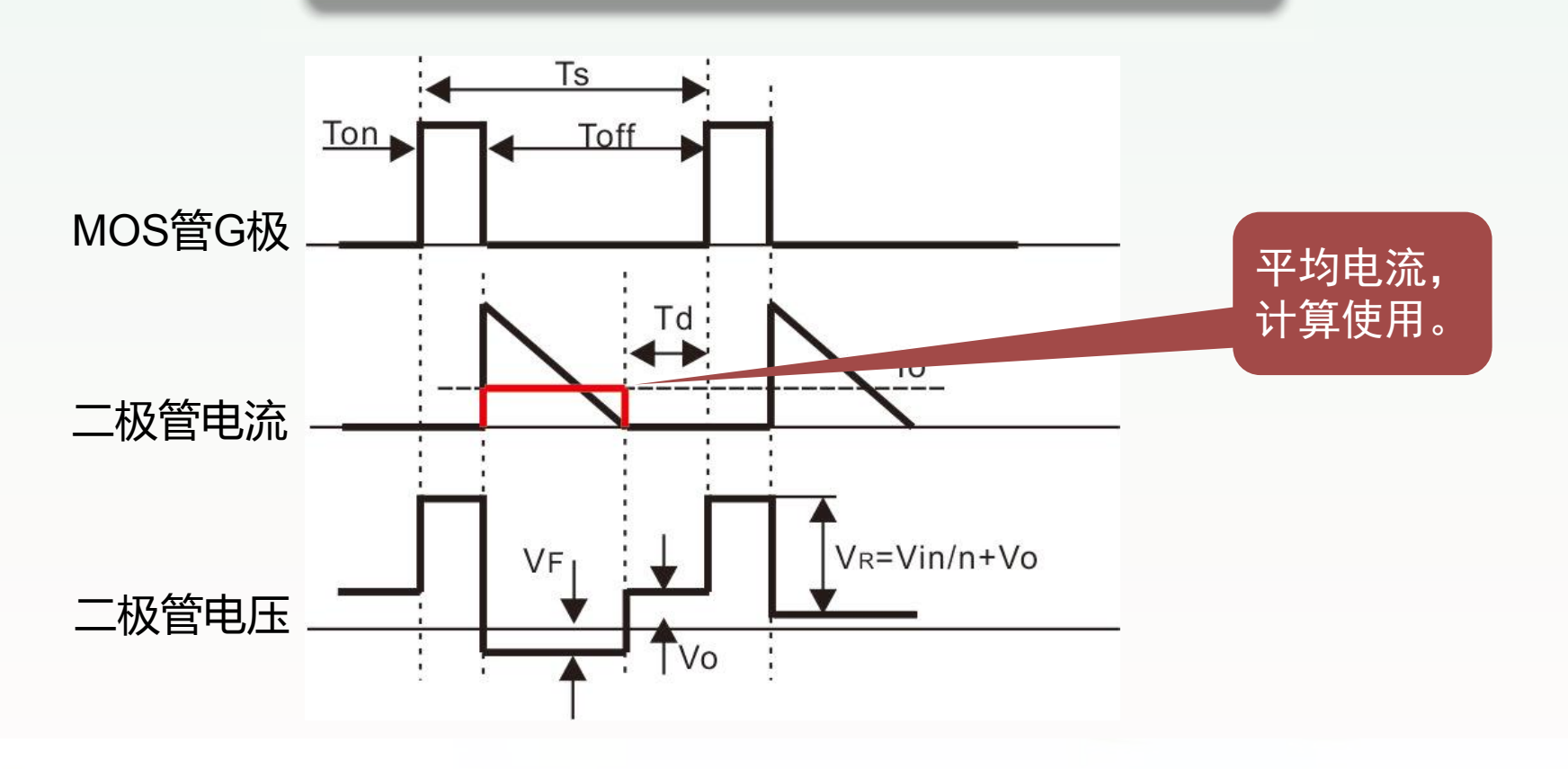


图7 Flyback电源DCM时的二次侧二极管的电压、电流波形



DCM模式时二极管损耗计算

根据图7,结合前面的二极管损耗分析,可得到该模式下的二极管损

耗计算公式:

1) 通态损耗: $P_C = V_{FO} \times I_O + r_D \times I_{F^2(RMS)}$

备注

 I_O : 电源输出电流 $I_{F(RMS)}$: 二极管电流有效值

 V_{EO} :起始正向压降 r_D : 动态电阻

该三角波的占空比D1= (Toff-Td)/Ts 电流有效值 $I_{F(RMS)}$ =2 I_{O} =2 I_{O} =2 I_{O} =1.15 I_{O} × I_{O} =1.15 I_{O



2) 截止损耗: Pb=V_R×I_R(@V_R)×Ton/Ts+Vo×I_R(@Vo)×Td/Ts

备注

 V_R :二极管工作时实际反向电压 $I_R(@V_R):V_R$ 时的反向漏电流。

Ton:电源开关管导通时间 T_s:电源开关周期

 V_O : 电源输出电压 $I_R(@Vo): V_O$ 时的反向漏电流。

Td: 死区时间

3) 开关损耗: Ps= Pon+Poff

 $=1/2\times I_P\times (V_{FR}-V_F)\times tfr/Ts+1/4\times V_{RR}\times I_{RRM}\times tb/Ts$

备注

 I_P :二极管峰值电流 V_F : I_O 电流下的正向压降

tfr: 正向电压恢复时间 $T_s:$ 电源开关周期

 V_{FR} :正向恢复最大电压 V_{RR} :反向恢复电压

I_{RRM}:最大反向恢复电流 tb:反向恢复时间tb部分

4) 二极管总损耗: P_D=Pc+Pb+Ps



举例1: (5V低电压输出,输出整流管使用晶恒肖特基二极管)

开关电源规格为5V 2A ,工作于DCM模式,开关频率50KHz。 输出整流二极管使用晶恒肖特基二极管 JF SR540(5A 40V)。

1) 电路工作条件

$$V_{O}$$
=5V , I_{O} =2A , Ts=20000ns , Ton/Ts=0.3 , Td/Ts=0.2 , D1=(Toff-Td)/Ts=0.5, V_{R} =32V , V_{RR} = V_{O} =5V , r_{D} =30m Ω $I_{F(RMS)}$ *1.15 I_{O} × $\sqrt{1/D1}$ =3.25A I_{D} =2 I_{O} /D1=8A

2) 二极管参数 (假设二极管T_J=100℃):

$$V_{F0}{=}0.43V$$
 , I_R ($@V_R){=}2mA$, I_R ($@V_O$) =0.5mA tfr=20ns , $V_{FR}{=}5V_F$, tb=20ns , $I_{RRM}{=}1A$

3) 损耗计算 (T」=100℃)

$$\begin{aligned} &\text{Pc=V}_{\text{F0}}\times I_{\text{O}} + r_{\text{D}}\times I_{\text{F}^{2}(\text{RMS})} = 860\text{mW} + 97.5\text{mW} = 957.5\text{mW} \\ &\text{Pb=V}_{\text{R}}\times I_{\text{R}} (@\text{V}_{\text{R}})\times \text{Ton/Ts} + \text{Vo}\times I_{\text{R}} (@\text{Vo})\times \text{Td/Ts} \\ &= 19.2 + 0.75 = 19.95\text{mW} \text{.} \\ &\text{Ps=Pon+Poff} \end{aligned}$$

=
$$1/2 \times I_P \times (V_{FR} - V_F) \times tfr/Ts + 1/4 \times V_{RR} \times I_{RRM} \times tb/Ts$$

= $6.88 + 1.25 = 8.13 \text{mW}$

总损耗P_D≈980mW



下面再计算二极管T_J=125℃时的损耗,看看总损耗的变化。通过以上计算可知,Ps很小,为简化计算,不再计算。

二极管 T₁=125℃时参数为:

 $V_F = 0.41V$, $V_R = 32V$, I_R (@V_R) = 10mA, I_R (@V_O) = 2.5mA

经计算:



由此可见:

- DCM模式下,二极管的损耗主要来自通态损耗。使用肖特基二极管, 开关损耗可以忽略不计。截止损耗的第二项也可忽略不计。
- (02) 结温低时,截止损耗Pb影响不大。
- 03)随着结温的升高,Pb上升量超过了Pc下降量,总损耗上升。 若二极管散热不及时,容易造成热失控。



举例2: (24V高电压输出,整流管使用晶恒 快恢复二极管或肖特基二极管)

开关电源规格为24V 1A,工作在DCM模式,开关频率50KHz。

电路工作条件: Vo=24V, Io=1A, Ton/Ts=0.25, D1=(Toff-Td)/Ts=0.5,

Td/Ts=0.25, Ts=20000ns, VR=120V, VRR=Vo=24V

A:输出整流管为晶恒 快恢复二极管 JF HER304 (5A300V50ns)

A1:HER304参数(假设二极管T」=100℃)

 V_F =0.90V , I_R (@ V_R)=10uA , I_R (@ V_{RR})=2uA

tfr=50ns, V_{FR} =5 V_{F} , tb=50ns, Irrm=2A

 $r_D = 50 \text{m}\Omega I_{F(RMS)} = 1.15 I_O \sqrt{1/D1} = 1.63 A$

A2:损耗计算 Pc=V_{F0}×I_O+r_D×I_{F²(RMS)}=0.9+0.13 =1.03W≈1000mW

 $Pb=V_R\times I_R(@V_R)\times Ton/Ts+Vo\times I_R(@Vo)\times Td/Ts$

 $=120\times10\times10^{-6}\times0.25+24\times2\times10^{-6}\times0.25$

=0.312mW

 $Ps=Pon+Poff=1/2\times I_p\times (V_{FR}-V_F)\times tfr/Ts+1/4\times V_{RR}\times I_{RRM}\times tb/Ts$

 $=1/2\times1\times4\times0.0025+1/4\times24\times2\times0.0025$

=35mW

总损耗P=Pc+Pb+Ps≈1035mW

结论:快恢复管的损耗也主要来自通态损耗Pc。DCM模式下,开关损耗很小。



B: 输出整流管为晶恒肖特基二极管 JF SR3200 (3A 200V)

B1: SR3200参数(假设二极管T」=100℃)

 V_F =0.72 V , I_R (@ V_R)=0.5mA , I_R (@ V_0) =0.1mA

 $r_D = 80 m\Omega$, $I_{F(RMS)} = 1.63 A$

B2 : 损耗计算 Pc=V_F×I_O+r_D×I_F²_(RMS)≈720mW+213mW=933mW

 $Pb=V_R\times I_R(@V_R)\times Ton/Ts+Vo\times I_R(@Vo)\times Td/Ts$

=15+0.6=15.6mW

对于 Ps,参考举例1,数值很小,不再计算。

总损耗P=Pc+Pb+Ps≈949mW

结论:同样规格的电源,使用肖特基二极管的损耗比快恢复二极管的损耗低。



DCM二极管损耗分析总结

- 01 肖特基 快恢复二极管的损耗主要来自Pc。
- 02 满足设计条件下,尽量选用V_F低的二极管。如肖特基二极管。
- 对肖特基二极管,高温时的截止损耗Pb虽然值不高,但上升速度超过通态损耗Pc,总损耗PD上升,能造成热失控。
- 04 对快恢复二极管,DCM模式下,开关损耗很小。



DCM二极管损耗计算公式

A: 肖特基二极管

$$Pc=V_{F0}\times I_{O}+r_{D}\times I_{F}^{2}_{(RMS)}$$

 $Pb=V_{R}\times I_{R}(@V_{R)}\times Ton/Ts$
 $P_{D}=Pc+Pb$

B: 快恢复二极管

$$Pc=V_F \times Io + r_D \times I_{F^2(RMS)}$$

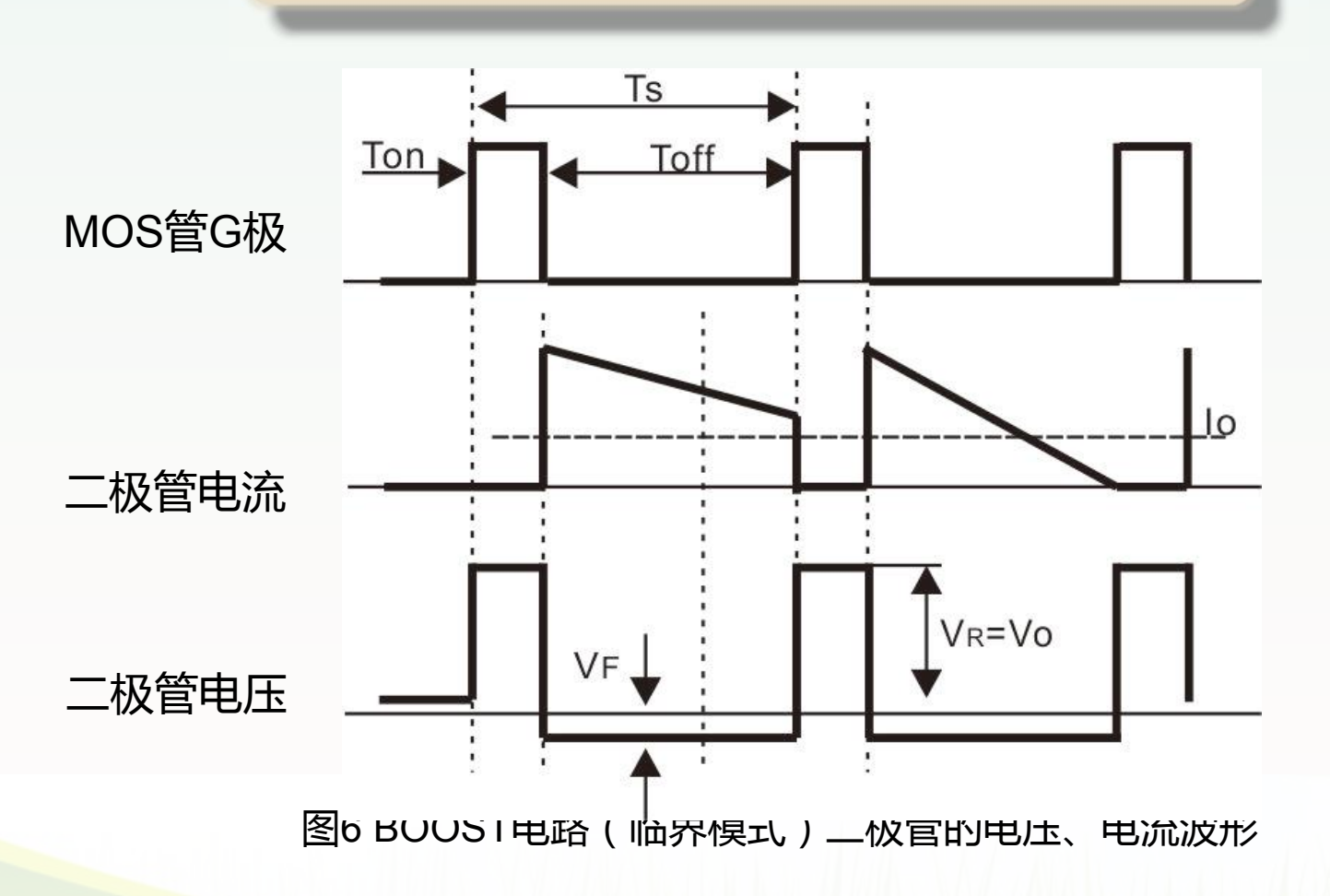
 $Ps=1/4 \times V_{RR} \times I_{RRM} \times tb/Ts$ (必要时)
 $P_D=Pc+Ps$

应用实例2

BOOST电路二极管损耗分析



BOOST电路二极管损耗分析





BOOST电路二极管损耗计算

以BOOST电路输出电压较高(如PFC电路)、输出功率较大的场合为例。

输出二极管为超快恢复二极管或SIC肖特基二极管。由于二极管在关断时要承受高反压(=Vo),开通时有较大的浪涌电流,开关损耗Ps计算公式先把Pon和Poffb考虑进来。该电路里,二极管反向恢复电压始终等于Vo。为便于计算,我们把二极管电流设定为平均电流即输出电流Io.。

参考上面的波形图,先得到:

通态损耗 $Pc=V_{F0}\times I_{O}+r_{D}\times I_{F}^{2}(RMS)$

截止损耗Pb=V_R×I_R(@V_R)×Ton/Ts

开关损耗Ps=Pon+Poff=Pon+Poffb

=1/2× I_F × (V_{FR} - V_F) ×tfr/Ts+1/4× V_O × I_{RRM} ×tb/Ts

注1: 二极管电流波形为周期梯形波,其平均值即为电源输出电流lo。

该三角波的占空比D1=Toff/Ts

电流有效值 $I_{F(RMS)}$ = $Io \times \sqrt{1/D1}$

注2:由于Poffa=1/2×V_F×Irrm×ta/Ts,公式里V_F比Poffb里的Vo差200多倍,去掉系数和ta、tb长短的差异,也有近100倍的差异。所以,忽略掉Poffa是可以的。

BOOST电路二极管损耗计算



举例1:

A:假设一电源,输入电压Vin=310VDC,输出电压Vo=381V,输出电流I_O=5A。开关频率 50KHz,开关周期Ts=20000ns。占空比D=Ton/Ts=1-Vin/Vo=0.186,D1=1-D=0.814。 假设二极管的开通时的电流上升率(d ir/d t)和关断时的电流下降率(d if/d t)都设为500A/μs。

B:输出二极管使用晶恒公司的快恢复二极管MUR1560(15A 600V)。

参数为:
$$V_{F0}$$
=1.3V,IR(@381V)=10uA;
 tfr=150ns, V_{FR} =16V, I_{RRM} =13A, tb=50ns,
 tfr/Ts=0.0075,tb/Ts=0.002, r_{D} =50m Ω
 $I_{F(RMS)}$ =Io× $\sqrt{1/D1}$ ≈5×1.1=5.5A

C: 损耗计算

通态损耗 Pc=V_{F0}×I_O+r_D×I_{F²(RMS)}≈1.3×5+0.05×5.5=6.5+1.5=8.0(W) 截止损耗 Pb=V_R×I_R(@V_R)×Ton/Ts=381×10×10-6×0.186=7.08×10⁻⁶(W)(忽略不计) 开关损耗 Ps=Pon+Poffb

> Pon= $1/2 \times I_F \times (V_{FR} - V_F) \times tfr/Ts = 1/2 \times 5 \times 14.3 \times 0.0075 = 0.27W$ Poffb= $1/4 \times V_O \times I_{RRM} \times tb/Ts = 1/4 \times 381 \times 13 \times 0.0025 = 3.09W$ Ps=Pon+Poffb=3.36W

总损耗 P_D=Pc+Ps=11.36W

结论: 1. 对于快恢复二极管,损耗只计算Pc和Poffb即可。

2. 开关损耗比较大。



提示:

快恢复二极管的 V_F 、 V_{FR} 、tfr、trr(tb)、 I_{RRM} 随着不同的工作条件是变化的。计算二极管损耗时要确定正向电流 I_F 、反向恢复电压 V_{RR} 、二极管电流变化率 di/dt , 二极管的实际结温 T_{VJ} 。

- trr随着I_F、V_{RR}、T_{VJ}的增加而增加,随着di /dt的增加而减小
- 2 I_{RRM}随着I_F、T_{VJ}、V_{RR}、di /dt的增加而增加
- 3 V_F随着T_{VJ}的上升而减小
- V_{FR}随着di /dt的增加而增加
- 5 tfr随着di /dt的增加而减小。



举例2:

A:电源条件同举例1。

B:输出二极管使用晶恒SIC肖特基SC1512。

 $V_{F0} = 1.2V$, I_{R} (@381V) = 10uA;

tfr=150ns , V_{FR} =6.0V , I_{RRM} =2A , tb=25ns

tfr/Ts=0.0075, tb/Ts=0.00125

 $r_D = 50 \text{m}\Omega$

截止损耗参考举例1,忽略

开关损耗Ps=Pon+Poffb

Pon= $1/2 \times I_F \times (V_{FR}-V_F) \times tfr/Ts = 1/2 \times 5 \times 6.5 \times 0.0075 \approx 0.09W$

Poffb= $1/4 \times Vo \times I_{RRM} \times tb/Ts = 1/4 \times 381 \times 2 \times 0.00125 \approx 0.24W$

Ps=Pon+Poffb=0.33W。

总损耗Pp=Pc+Pb=7.83W

结论: 1. SIC肖特基的损耗小于快恢复二极管的损耗。

2. 对于SIC肖特基二极管, 损耗只计算Pc。



高压BOOST电路二极管损耗分析总结

- 01 SIC肖特基二极管的损耗主要来自Pc。
- 02 快恢复二极管的损耗主要来自Pc和Ps里面的Poffb。
- 03 满足设计条件下,尽量选用SIC肖特基二极管。
- 04 尽量选用V_F低的二极管。
- 05 对快恢复二极管,要减小Ps,可选择trr短,I_{RRM}小的软恢复产品。



BOOST二极管损耗计算公式

A: 快恢复二极管

$$Pc=V_F \times Io + r_D \times I_F^2_{(RMS)}$$

$$Ps=1/4 \times V_{RR} \times I_{RRM} \times tb/Ts$$

B:SIC肖特基二极管

$$Pc=V_{F0}\times I_0+r_D\times I_F^2_{(RMS)}$$



二极管的选用原则



二极管的总损耗主要来自通态损耗和开关损耗。



肖特基二极管的通态损耗和开关损耗都优于快恢复二极管,优先选择。



当温度高时(100℃),肖特基二极管的截止损耗的影响必须考虑。



对于快恢复二极管,要降低开关损耗,应选择trr小的,但trr小,V_F就增加,所以,对损耗的影响,要折中考虑。一般对于几十KHZ的电源,HER(75ns)的产品就可以了。

举例:

一单端反激开关电源20V, 1.5A。输出整流二极管分别使用SKY SR5200和 SR5250, 快恢复二极管HER504G和SF56G, 考察转换效率。

| Item | Туре | VF@1.5A(V) | trr(ns) | Pin(W) | Pout(W) | Efficiency(%) |
|---------|------|------------|---------|--------|---------|---------------|
| SR5200 | SKY | 0.70 | 1 | 35.7 | | 84.00% |
| SR5250 | SKY | 0.742 | 1 | 35.9 | 30 | 83.60% |
| HER504G | FRD | 0.748 | 75 | 36 | | 83.30% |
| SF56G | UFRD | 0.89 | 35 | 36.3 | | 82.60% |

测试结果符合前面的计算结论。

05

晶恒二极管在电源效率提升中的应用

因为**肖特基二极管**(SKY) 是输出整流最为理想的**首选器件**,而晶恒电子又素以生产肖特基二极管闻名,接下来让我们探讨一下晶恒二极管在电源效率提升中的应用。

晶恒是国内最早研制和批量生产肖特基芯片和成品的公司之一,早在上世纪70年代,就研制出了国内第一支肖特基二极管,90年代初,开始批量生产民用肖特基芯片和成品。是军用肖特基产品定点单位。





普通肖特基 二极管 超低VF肖特基二极管

SIC肖特基二极管

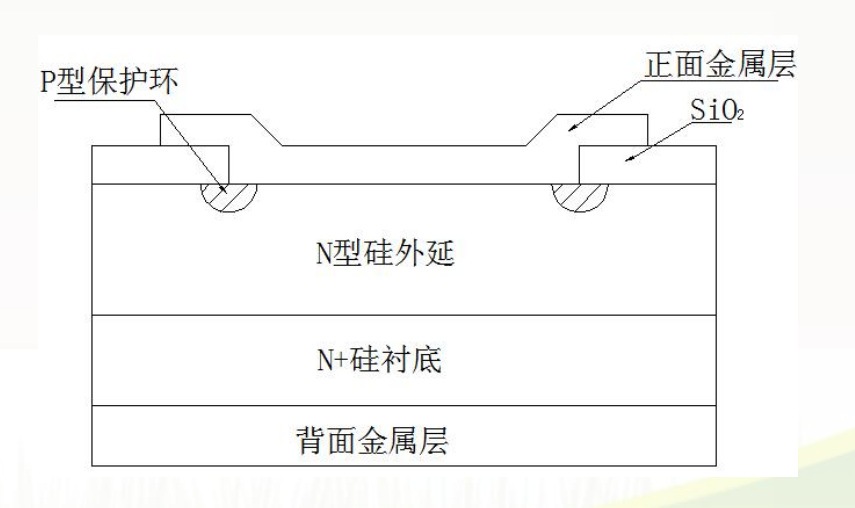


7.普通首特基二级管

芯片特点:

- 1 半导体-金属势垒EPI结构,低压采用Mo势垒,高压采用Pt-Au势垒.
- 2 单载流子(电子)导电,没有存储电荷复合效应,开关速度快。
- 3 P型保护环结构
- 4 低IR、低VF
- 5 高结温
- 6 高抗ESD和R/C能力
- 7 低成本,高可靠,一般应用。
- 8 芯片全部在宇航级生产线上制造

无法解决VF和IR的互换问题。





7.普通首特基二级管

制造:

采用环保、高端封装树脂成品管100%过回流焊芯片批100%抽样高温检测无卤产品100%批次检测



7. 普通首特基二级管

电流: 0.5A--60A 电压: 20V--250V

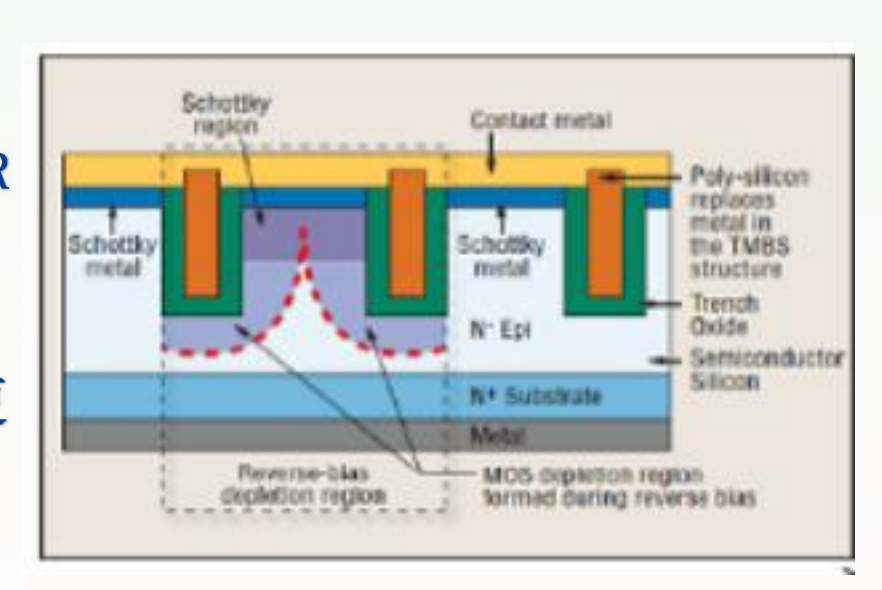
| 轴向 | R-1, D0-41, D0-15, D0-201AD, R-6 | |
|-----|--|--|
| 贴片 | SOD123, SOD123FL, SMA, SMB, SMC, TO277 SMAFL, SMBFL, SMCFL, TO263, TO252等 | |
| 大功率 | T0220AC, T0220AB, T0252, T0263 IT0220AC, IT0220AB, T0-247 | |



2. 遊低VF有特基二級管

产品特点:芯片

- 1 Trench (深沟槽)技术,解决了VF和IR 互换问题。
- 2 超低VF
- 3 大电流密度。同样尺寸chip可以通过更 大电流。
- 4 低IR
- 5 高抗ESD和R/C能力
- 6 高结温
- 7 高可靠性。



电源满足六级能效的首选产品

有效降低正向损耗,提升电源转换效率!



2. 遊低VF有特基二級管

制造:

采用低应力、环保、高端封装树脂 成品管100%过回流焊 芯片批100%抽样高温检测

无卤产品100%批次检测



2. 遊低VF有特基二級管

| VR | 善通SKY | 超低VFSKY | VF降低率 |
|---------|-------|---------|--------|
| 40V/45V | 0.55V | 0.45V | 18.20% |
| 60V | 0.65V | 0.48V | 26.10% |
| 80V | 0.80V | 0.55V | 31.20% |
| 100V | 0.80V | 0.58V | 27.50% |
| 150V | 0.90V | 0.77V | 14.40% |
| 200V | 0.95V | 0.80V | 15.70% |



案例1---5A,100V超低正向肖特基

做为2016年度销量最好的SR5100SL,已经被国内十几家知名客户选用,月销量300万只。该品种的典型参数如下表,VF降低30%以上。适用于12V输出电源,可提高2%以上的满载效率。

| PARAMETER | SR5100 (普通) | SR5100SL (超低VF) |
|-----------|----------------|--------------------|
| IF | 5A | 5A |
| VF@IF=5A | V8.0 | 0.55V |
| VR | 110V | 110V |





案例2-10A,45V 低正向肖特基

SP10U45L-T是2A,5V智能手充的代表性产品,既保持了低的正向压降,同时可适应温升高的应用环境。该产品同时将反向电压提高到50V以上,增强了应用过程中的安全性。超薄超小封装,可节省您的设计空间。可提高2%以上的满载效率。

| PARAMETER | SP10U45 | SP10U45L-T | |
|-----------|---------|------------|--|
| | (普通) | (超低VF) | |
| IF | 10A | 10A | |
| VF@IF=10A | 0.52V | 0.43V | |
| VR | 48V | 55V | |





案例3——20A,100V 低正向肖特基

此款产品是2016年市场热点产品,是满足12V大功率电源六级能效要求的代表品种。额定电流下,正向压降比常规肖特基低近30%。采用最先进的沟槽制造工艺,可提高2%以上的满载效率。

| PARAMETER | SR20100CT | SR20100SLCT | |
|-----------|-----------|-------------|--|
| | (普通) | (超低VF) | |
| IF | 20A | 20A | |
| VF@IF=10A | 0.81 | 0.57 | |
| VR | 110 | 110 | |





超低VF肖特基二极管产品介绍

电流: 1A--40A

电压: 20V--200V

典型型号: SR340L, SS510L, SP10U45L, SP15U50L, SRF20100LCT等

封装:

| 轴向 | DO-41, DO-15, DO-201AD | |
|-----|--|--|
| 贴片 | SOD123, SOD123F, SMA, SMB, SMC, TO277 | |
| 大功率 | T0220AC, T0220AB, IT0220AC, IT0220AB T0252, T0263 | |

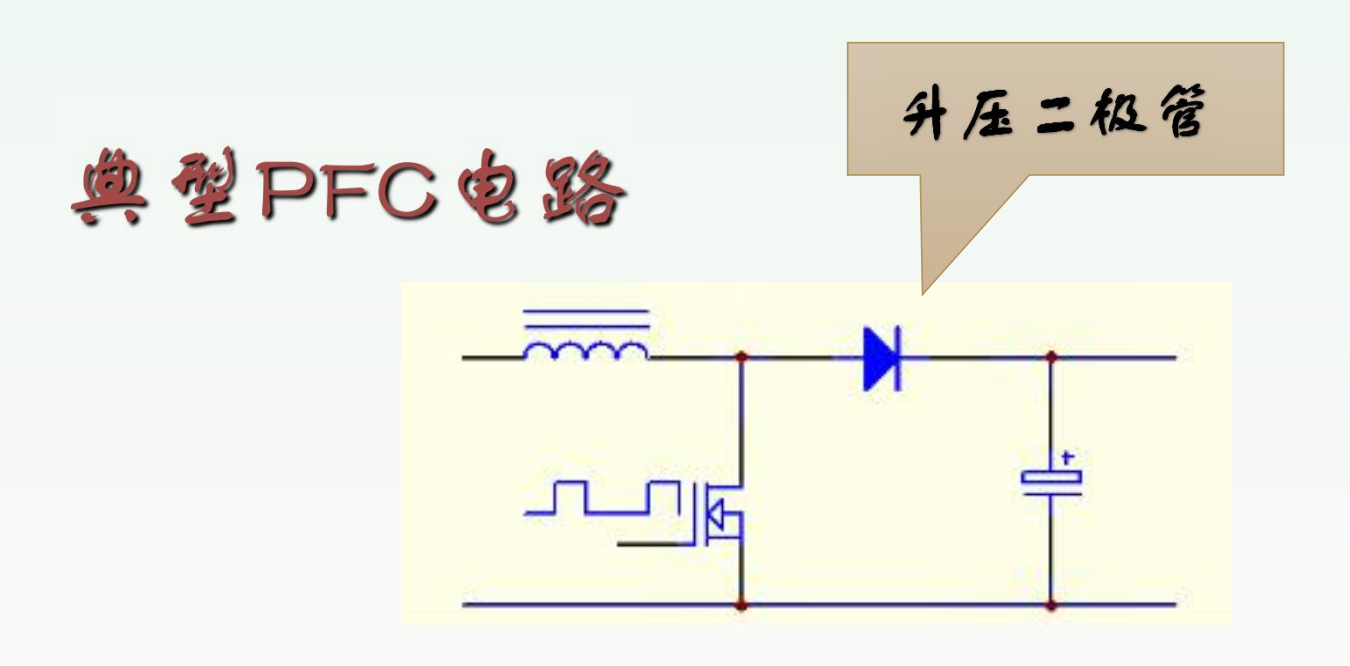


3. SIC有特基二级管

使用SIC材料作为衬底制成的具有肖特基特性的二极管。



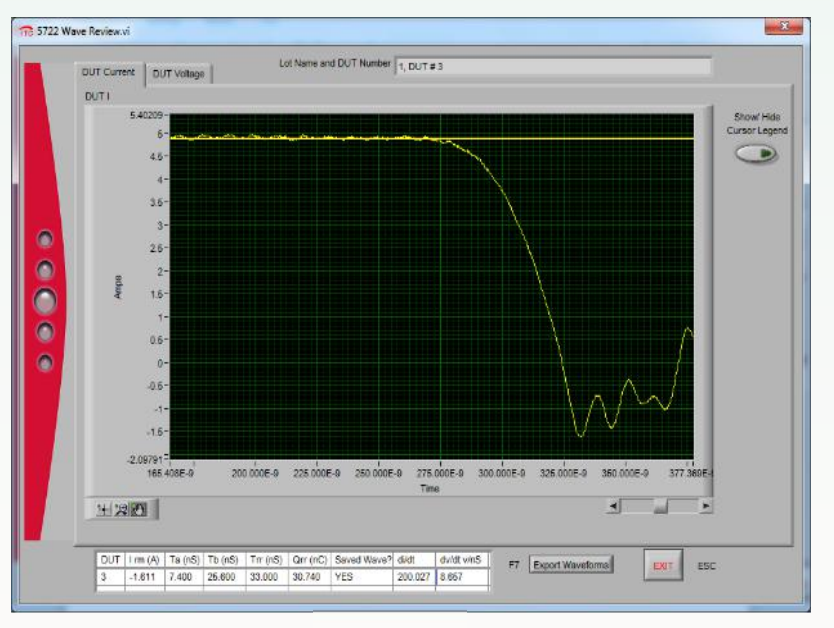


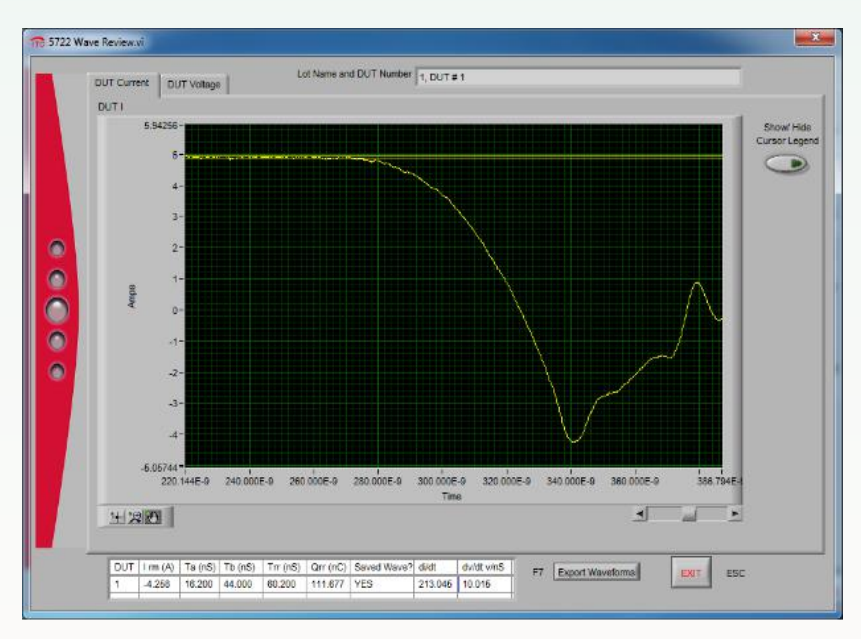


- 1) Qrr小。大了, 二极管开关损耗大。
- 2) Irrm小。大了,与之配对的MOSFET/IGBT的电流应力和导通损耗大,也即转换效率低。
- 3) ta/tb(从Irrm到0.25Irrm的时间)长,具有不陡峭的、钉状光滑的反向恢复波形。tb长,从而有更小的di/dt.在寄生电感Ls相等的情况下,产生更小的Vrp(电压尖峰),从而降低EMI。



SC1006和MUR1060反向恢复特性对比





SC1006 MUR1060

| 产品 | Irrm | Та | Tb | Trr | Qrr |
|---------|---------------|--------|--------|--------|-----------|
| SC1006 | 006 1.611A 7. | | 25.6ns | 33ns | 30.740nc |
| MUR1060 | 4.258A | 16.2ns | 44.0ns | 60.2ns | 111.677nc |

结论: SC1006的Irrm、Tb/Ta、Qrr都优于MUR1660; 使用SC1006能得到较高的转换效率和好的EMI特性。



SiC肖特基二极管技术参数表

| 封装形式 | 产品型号 | 绝对最大额定值 I _{FSM} T _{stg} | | 正向电压V _F | 反向漏电 | 反向电压V _R |
|------------------|----------------|--|-----------------|---------------------|-----------------------|-----------------------|
| CMD | 24/2000/ | ο Δ | | I _F =2A | V _R =2000V | I _R =0.1mA |
| SMB | 2A/2000V | 8A | -55°C∼+150°C | ≤1.8V | ≤0.05mA | ≥2500V |
| | 6A/1200V | 9A | FF°0 14F0°0 | I _F =2A | V _R =1200V | I _R =0.1mA |
| | 0A/1200V | | -55°C∼+150°C | ≤1.8V | ≤0.05mA | ≥1400V |
| TO-252 | 104/600\/ | 40A | -55°C∼+150°C | I _F =10A | V _R =600V | I _R =0.1mA |
| TO-220 | 10A/600V | | | ≤1.8V | ≤0.05mA | ≥700V |
| | 10A/1200V | 40A | -55°C∼+150°C | I _F =10A | V _R =1200V | I _R =0.1mA |
| | | | | ≤1.8V | ≤0.05mA | ≥1400V |
| | 15A/1200V 60 | 60A | -55°C∼+150°C | I _F =15A | V _R =1200V | I _R =0.1mA |
| | | OUA | | ≤1.8V | ≤0.05mA | ≥1400V |
| TO 220 | 20A/600V 80 | 80A | 60A | I _F =20A | V _R =600V | I _R =0.2mA |
| TO-220 TO-263 | 20A/000V | 20A/600V 80A -55 C | -55 C/ 9+ 150 C | ≤1.8V | ≤0.10mA | ≥700V |
| TO-263 TO-247 | 25A/1700V | 100A | -55°C∼+150°C | I _F =25A | V _R =1700V | I _R =0.2mA |
| 10-247 | 25A/1700V | 25A/1/00V 100A | | ≤2V | ≤0.10mA | ≥2000V |
| | 204/6001/ 1204 | 1204 | -55°C~+150°C | I _F =30A | V _R =600V | I _R =0.2mA |
| | 30A/000V | 30A/600V 120A - | | ≤1.8V | ≤0.10mA | ≥700V |





晶恒MUR系列产品,采用EPI芯片,wire-bond封装技术,国军标生产线制造,具有VF低,抗反向浪涌电流能力强,低应力封装的特点。批量应用于BOSCH电机、光伏逆变等大功率电源上。

大功率MUR系列产品介绍

电流: 6A—100A

电压: 200V—1200V

封装: ITO-220AC, ITO-220AB, TO-220AC, TO-220AB TO-247 TO-3P

典型型号: MUR640, MUR840, MUR1060, MUR2060, MUR8120等







联系我们

济南总部 Headquarters

地址:济南市和平路51号 电话:0531-86943657

传真: 0531-86412824

邮箱: sale@jinghenggroup.com

网址: www.jingheng.cn/

www.jinghenggroup en.alibaba.com

晶恒工业园 Jingheng Industry Park

地址:济南市长清区晶恒路、号



深圳办事处 Shenzhen Branch Office

地址:深圳市福田区中康路曼越城州区公法1003室

电话: 0755-88391085 传真: 0755-88391025

厦门办事处 Xiamen Branch Office

地址:厦门市集美区杏林东路宁海一里46号

电话: 86-592-5529106 传真: 86-592-5529126



THANK